

## Proposition de thèse 2025 : Identification et modélisation des structures de l'écoulement à l'origine du bruit de décrochage dynamique d'un profil d'aile

### Contexte

Dans le contexte des machines tournantes, l'angle d'attaque d'une section de pale peut varier pendant la rotation lorsque l'écoulement amont est inhomogène. Cela a été démontré par exemple par des chercheurs danois sur une pale d'éolienne à axe horizontal instrumentée, et le même type de phénomènes peut se produire sur des éoliennes à axe vertical ou sur des drones. Lorsque l'angle d'attaque atteint des valeurs suffisamment élevées, la couche limite peut décoller et un phénomène de décrochage peut se produire, ce qui se traduit par une forte modification du spectre du bruit rayonné par le profil.

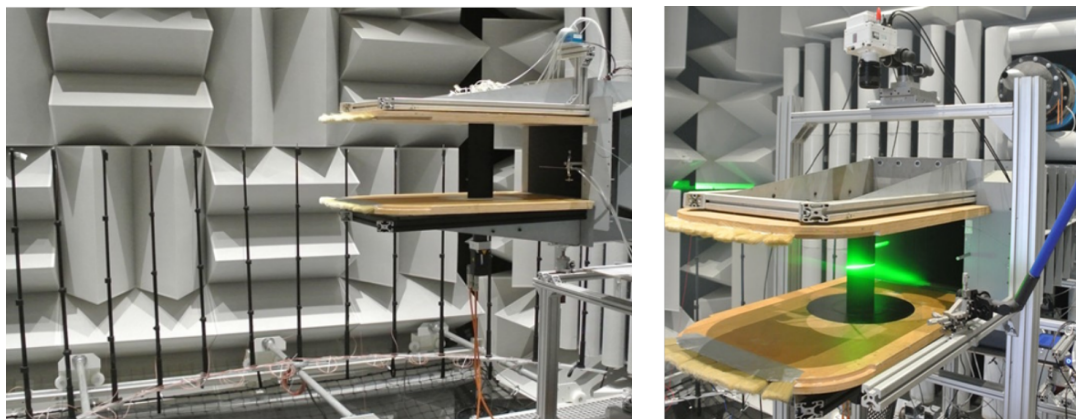


FIGURE 1 – Vue de l'expérience de décrochage dynamique dans la soufflerie anéchoïque du LMFA (a) avec le profil instrumenté de prises de pression pariétale, et (b) avec le profil non instrumenté pendant les mesures PIV.

Durant le projet ANR PIBE (Prévoir l'Impact du Bruit des Eoliennes – 2019-2023 – <https://www.anr-pibe.com>), des mesures synchronisées d'écoulement à mi-envergure du profil et de bruit ont été réalisées dans la soufflerie anéchoïque du LMFA pendant la thèse de Lisa Sicard [1]; voir figure 1. En conditions statiques, nous avons identifié les structures turbulentes à l'origine du bruit à grand angle d'attaque à l'aide de techniques de détection de tourbillons (critère  $\Gamma_2$ ), de corrélation entre les fluctuations de vitesse et la pression acoustique, et d'une décomposition modale de l'écoulement (SPOD). Voir figure 2 pour un angle d'attaque géométrique  $\alpha_g = 30^\circ$ . En conditions dynamiques, l'analyse est plus complexe car le spectre de bruit rayonné varie rapidement lorsque l'angle d'attaque change, et dépend de la fréquence d'oscillation du profil, comme le montre la figure 3. Certaines techniques utilisées en statique sont toujours applicables si on découpe les cycles d'oscillation en un nombre de segments suffisant.

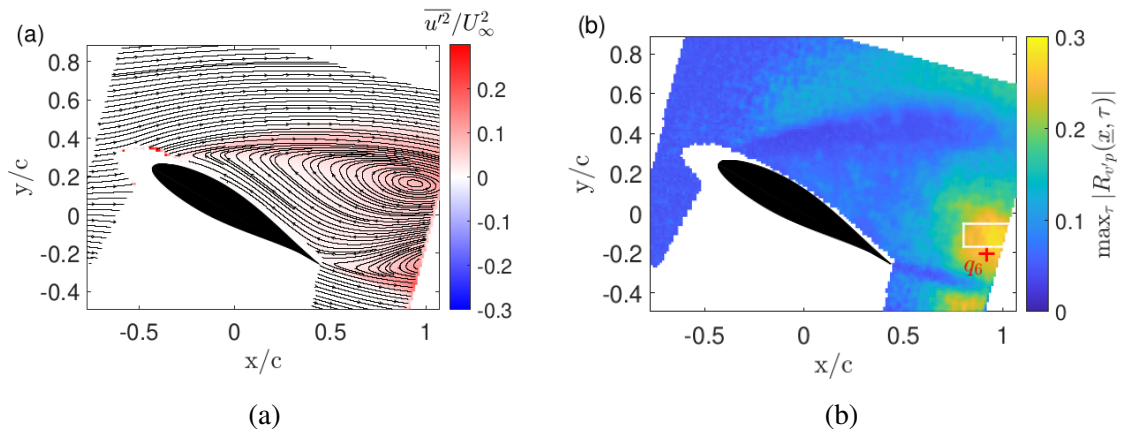


FIGURE 2 – (a) Lignes de courant et composante  $\overline{u'^2}$  du tenseur de Reynolds et (b) carte du maximum de corrélation entre les fluctuations de vitesse verticale  $v'$  et la pression acoustique  $p$  pour  $\alpha_g = 30^\circ$ .

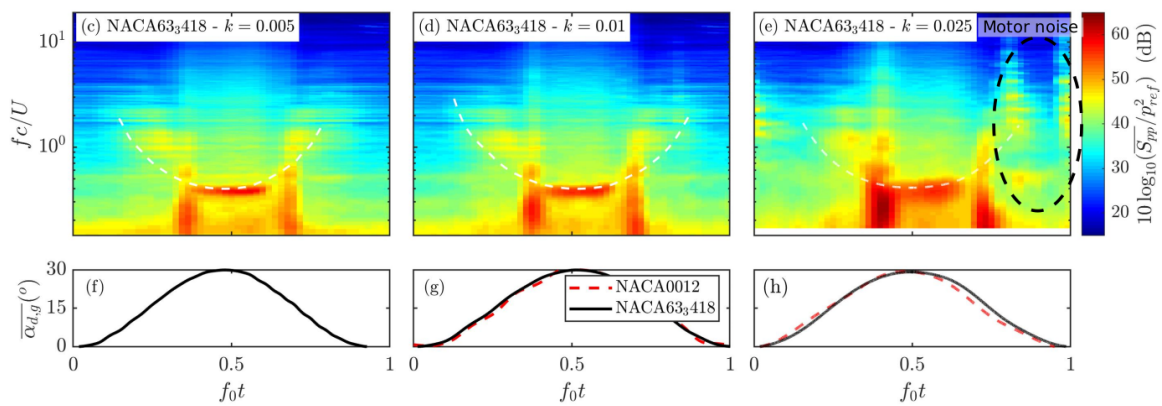


FIGURE 3 – Spectrogrammes moyennés en phase pour différentes fréquences réduites  $k = \pi f_0 c/U$ , avec  $f_0$  la fréquence d'oscillation du profil,  $c$  sa corde et  $U$  la vitesse de l'écoulement amont.

## Objectifs et programme de travail

L'objectif de cette thèse est d'identifier les structures de l'écoulement à l'origine du bruit de décrochage dynamique, et de proposer une modélisation de ce mécanisme de génération de bruit. Le programme de travail s'articule autour de 3 axes :

1. Caractérisation du bruit de décrochage dynamique à l'aide de la base de données de mesures du projet PIBE ;
2. Simulations de l'écoulement autour d'un profil d'aile en oscillation de tangage afin de caractériser les structures turbulentes, en particulier selon l'envergure ;
3. Modélisation du bruit de décrochage dynamique.

## Modalités pratiques

- **Profil souhaité** : titulaire d'un M2 recherche ou d'un diplôme d'ingénieurs, avec une solide formation en mécanique des fluides et/ou acoustique.
- **Encadrement** : Benjamin Cotté, enseignant-chercheur à l'ENSTA Paris (IMSIA).
- **Lieu de la thèse** : la thèse se déroulera à l'ENSTA Paris à Palaiseau. Des collaborations sont envisageables, par exemple avec le LMFA à Lyon ou l'université de Sherbrooke au Québec.
- **Pour candidater** : envoyer CV, lettre de motivation et une liste de référents à benjamin.cotte@ensta-paris.fr.

## Références

- [1] L. Sicard, 2023, identification expérimentale des sources acoustiques à l'origine du bruit de décrochage d'un profil de pale d'éolienne, thèse de doctorat de l'Institut Polytechnique de Paris.
- [2] N. Trafny, G. Serre, B. Cotté, J.-F. Mercier, 2023, A stochastic volume approach based on tailored Green's functions for airfoil noise prediction at low Mach number, *Journal of Sound and Vibration*, vol. 551, no. 117603, 2022, <https://doi.org/10.1016/j.jsv.2023.117603>.
- [3] B. Cotté, S. Roy, D. Raus, 2022, Towards a semi-empirical trailing edge noise model valid for attached and separated turbulent boundary layers, 28th AIAA/CEAS Aeroacoustics Conference, paper 2022-3103.
- [4] D. Raus, B. Cotté, R. Monchaux, E. Jondeau, P. Souchotte, M. Roger, 2022, Experimental study of the dynamic stall noise on an oscillating airfoil, *Journal of Sound and Vibration*, vol. 537, no. 117144, 2022, <https://doi.org/10.1016/j.jsv.2022.117144>.
- [5] D. Raus, L. Sicard, B. Cotté, R. Monchaux, E. Jondeau, P. Souchotte, M. Roger, 2021, Experimental characterization of the noise generated by an airfoil oscillating above stall, AIAA Aviation Forum 2021, paper 2021-2291.